

Løsning eksamen i SIE 3005/43021 reguleringssteknikk
16/5 - 2001, T.A.

1a) Sett $x_1 = p$ og $x_2 = m_s$, Vi får fra blokdiagrammet:

$$\dot{x}_1 = k_2 [k_1 (p_0 - x_1) + x_2 + u]$$

$$\dot{x}_2 = -\frac{1}{T} x_2 + \frac{K}{T} k_2 [k_1 (p_0 - x_1) + x_2 + u]$$

Sett $p_0 = 0$, og får da:

$$A = \begin{bmatrix} -k_1 k_2 & k_2 \\ -\frac{K k_1 k_2}{T} & -\frac{1}{T} (1 - K k_2) \end{bmatrix}, \quad \underline{b} = \begin{bmatrix} k_2 \\ \frac{K}{T} k_2 \end{bmatrix}$$

$$\underline{c}^T = [1 \quad 0]$$

c) \leftarrow NB!

$$h(s) = \frac{p}{m_e}(s) = \frac{h_1 \cdot \frac{1}{s}}{1 + k_1 h_1 \frac{1}{s}} = \frac{h_1}{s + k_1 h_1}$$

$$\text{der } h_1 = \frac{k_2}{1 - k_2 \frac{K}{1+Ts}} = \frac{k_2(1+Ts)}{1+Ts - k_2 K}$$

Sett h_1 inn i h :

$$h(s) = \frac{k_2(1+Ts)}{s + \frac{k_1 k_2 (1+Ts)}{1+Ts - k_2 K}} = \frac{k_2(1+Ts)}{s(1+Ts - k_2 K) + k_1 k_2 + k_1 k_2 Ts} = \frac{k_2(1+Ts)}{Ts^2 + (1 + k_1 k_2 T - k_2 K)s + k_1 k_2}$$

b) Alternativt - å bruke tilstandsrommodellen: Vi har

$$h(s) = \underline{c}^T (sI - A)^{-1} \underline{b}$$

$$\text{Søker først } (sI - A)^{-1} = \frac{\text{adj}(sI - A)}{|sI - A|}$$

- 2 -

$$\begin{aligned}
 |sI - A| &= \begin{vmatrix} s + k_1 k_2 & -k_2 \\ \frac{K}{T} k_1 k_2 & s + \frac{1}{T}(1 - K k_2) \end{vmatrix} \\
 &= \frac{1}{(s + k_1 k_2)(s + \frac{1}{T}(1 - K k_2) + \frac{k_1 K k_2}{T})} \begin{bmatrix} s + \frac{1}{T}(1 - K k_2) & k_2 \\ -\frac{K}{T} k_1 k_2 & s + k_1 k_2 \end{bmatrix} \\
 &= \frac{1}{s^2 + (k_1 k_2 + \frac{1}{T}(1 - K k_2))s + \frac{k_1 k_2}{T}} \begin{bmatrix} \dots & 0 \\ 0 & 0 \end{bmatrix} = \frac{1}{q(s)} \cdot \begin{bmatrix} \dots \end{bmatrix} \\
 \Rightarrow h(s) &= \begin{bmatrix} 1 & 0 \end{bmatrix} \begin{bmatrix} \dots & \frac{k_2}{T} \\ \dots & \dots \end{bmatrix} \cdot \frac{1}{q(s)} = \frac{1}{q(s)} \cdot \begin{bmatrix} \dots & k_2 \\ s + \frac{1}{T}(1 - K k_2) & \dots \end{bmatrix} \\
 &= \frac{k_2 s + \frac{1}{T}(1 - K k_2) k_2 + \frac{K}{T} k_2^2}{q(s)} = \frac{k_2 (s + \frac{1}{T})}{s^2 + (k_1 k_2 + \frac{1}{T}(1 - K k_2))s + \frac{k_1 k_2}{T}}
 \end{aligned}$$

Det samme med $h(s)$ funnet fra blokkdiagram!

d)

$$\begin{aligned}
 h(s) &= \frac{k_2}{T} \frac{1 + Ts}{s^2 + \frac{1 + k_1 k_2 T - k_2 K}{T}s + \frac{k_1 k_2}{T}} = \frac{k_2}{T} \frac{1 + Ts}{s^2 + 2\zeta\omega_0 s + \omega_0^2} \Rightarrow \\
 \omega_0 &= \sqrt{\frac{k_1 k_2}{T}}, \quad \zeta = \frac{1}{2\omega_0} \left(\frac{1 + k_1 k_2 T - k_2 K}{T} \right) = \frac{1 + k_1 k_2 T - k_2 K}{2\sqrt{k_1 k_2 T}}
 \end{aligned}$$

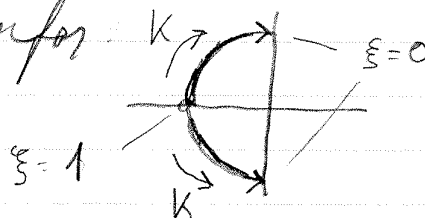
Når K er stor, dominerer spekulativ oppførsel: Akførene følger hverandre, og den positive tilbakekoplingsløypen motvirkes ikke tilstrekkelig av den negative og stabiliserende tilbakekoplingsløypen som skyldes realøkonomisk motivert handel.

e) Polene er kompleks konjugerte og systemet er stabilt for $0 < \xi < 1$. Vi definerer K_2 slik at $K=K_2$ gir $\xi=0$, og K_1 slik at $K=K_1$ gir $\xi=1$.

Dette gir $1+k_1k_2T-k_2K_2=0 \Rightarrow K_2 = \frac{1+k_1k_2T}{k_2}$

og $\frac{1+k_1k_2T-k_2K_1}{2\sqrt{k_1k_2T}} = 1 \Rightarrow K_1 = \frac{1}{k_2} (1+k_1k_2T - 2\sqrt{k_1k_2T})$

Siden ω_0 fra (1.3) er uavhengig av K , må de komplekskonjugerte polene ligge i konstant avstand fra origo. Rotkurven blir derfor en sirkelbue:



f) Dette er ^{sprang}responsen til et system av typen $\frac{1}{1+T_x s}$. Av figur 1.1

ser vi at dette bare kan innbrenne for $K=0$, dvs. ingen spikarativ oppførsel. Vi ser også at da er

$$T_x = \frac{1}{k_1 k_2}$$

$$2a) \left. \frac{\partial f}{\partial x} \right|_P = \begin{bmatrix} 0 & 1 \\ 0 & \frac{1}{J}(\beta - 3\gamma(x_2^P)^2) \end{bmatrix} \quad \left. \frac{\partial f}{\partial u} \right|_P = \begin{bmatrix} 0 \\ K/J \end{bmatrix}$$

Vi ser at det er bare x_2^P som inngår. Det er fordi resten av modellen er lineær.

$$b) A = \begin{bmatrix} 0 & 1 \\ 0 & \frac{1}{J}(\beta - 3\gamma(x_2^P)^2) \end{bmatrix}, \quad |\lambda I - A| = \begin{vmatrix} \lambda & -1 \\ 0 & \lambda - \frac{1}{J}(\beta - 3\gamma(x_2^P)^2) \end{vmatrix} \Rightarrow \lambda_{1,2} = \begin{cases} 0 \\ \frac{1}{J}(\beta - 3\gamma(x_2^P)^2) \end{cases}$$

Krusdynamikken er ustabil for x_2^P liten, da blir $\lambda_2 = \underline{\underline{\beta/J}}$

For x_2^P stor, derimot, dominerer leddet $-3\gamma(x_2^P)^2$. Dermed blir $\lambda_2 = \frac{1}{J}(\beta - 3\gamma(x_2^P)^2)$ negativ og skipet blir kors-stabilt.

c) Vi har $N_p = 1 \Leftrightarrow$ en pol i h.b.p. for det åpne system. (V.8) gir oss da kravet om

2π omdreining (i positiv dreieretning). Siden den uendelig store havstilen går inn i v.b.p., ser vi at den heltrukne kurve for h_0 alltid dreier seg -2π om $(-1,0) \Rightarrow$ ustabil for alle K_p

d) Den stiplete løkka til høyre gir oss en omdreining rundt $(-1,0) \Rightarrow$ nå er systemet stabilt.

Av figuren ser vi at $h(j0) = -270^\circ$. Av (2.2) ser vi at $h_u(j0) = -270^\circ$. Dermed kan ikke h_r gi noe fasebidrag til h_0 for $\omega = 0$. Altså kan ikke h_r inneholde noen ren integrasjon. Da gjensvår en begr. PD-regulator som ikke gir noe fasebidrag ved $\omega = 0_+$.

2e) Det er ingen ren integrasjon foran forstyrrelsens angrepspunkt. For å fjerne stasjonært avvik når v er et sprang, må det være minst en integrasjon der. Dermed vil en GPD-regulator ikke fjerne stasjonært avvik.

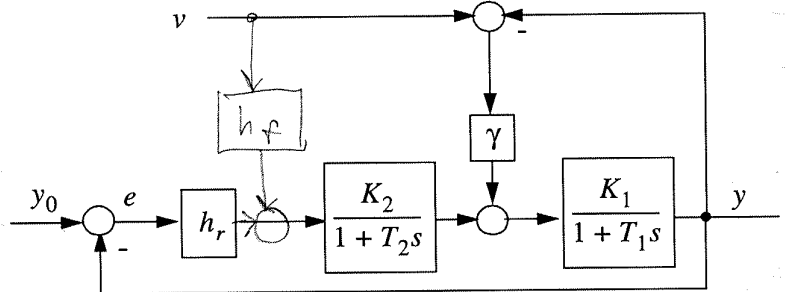
Dette kan bevises algebraisk v.h.a. sluttværditeorem:

$$\lim_{t \rightarrow \infty} e(t) = \lim_{s \rightarrow 0} s e(s) = \lim_{s \rightarrow 0} s \frac{e(s)}{v(s)}$$

$$= \lim_{s \rightarrow 0} \left(-h_v(s) N(s) \right) \cdot \frac{1}{s} = \lim_{s \rightarrow 0} \underbrace{-\frac{1}{s(-1+Ts)}}_{h_v} \cdot \underbrace{\frac{s(-1+Ts)(1+\alpha T_d s)}{s(-1+Ts)(1+\alpha T_d s) + K_p K (1+T_d s)}}_{N(s)}$$

$$= \underline{\underline{-\frac{1}{K_p K}}} \Rightarrow \text{stasjonært fernes ikke helt}$$

Oppgave 3a)



$$\text{Vi krever } h_{fi} \cdot \frac{K_2}{1+T_2 s} + \gamma = 0 \Rightarrow h_{fi}(s) = -\frac{\gamma}{K_2} (1+T_2 s)$$

$$b) K_f = h_{fi}(s) \Big|_{s=j0} = -\frac{\gamma}{K_2}$$

Den fjerner stasjonært avvik når $v(t)$ er konstant (et sprang)

Oppgave 4 a)

Se neste side

- b) $\Delta K \approx 8 \text{ dB}$ og $\psi \approx 79^\circ$, se neste side. Dette er litt rimelige marginer, K_p kunne vært økt litt, f.eks. med 2 dB.

c) Se neste side

- d) $|h_o|$ blir uforandret $\Rightarrow \omega_c$ forblir den samme. $\psi = \angle h_o(j\omega_c) + 180^\circ$

Endringa i fasemargin blir da like endringa i $\angle h_o(j\omega_c)$. Vi har

$$\tilde{\angle h_o}(j\omega_c) = \angle h_o(j\omega_c) + \angle e^{-j\omega_c \frac{T}{2}}$$

$$\angle e^{-j\omega_c \frac{T}{2}} = -\omega_c \frac{T}{2} = -0.4 \cdot 0.05 = -0.02 \text{ [rad]}$$

$$\begin{array}{l} \nearrow \\ \text{fra Bode-} \\ \text{diagram} \\ \text{neste side} \end{array} = -0.02 \frac{180}{\pi} = \underline{\underline{-1.15^\circ}}$$

- b) T_i kunne vært minsket. Dette ville økt krysffrekvensen uten at fasemarginen hadde blitt uakseptabelt lav.

den uønskelig store

- 7 -

Fag nr.: SIE3005 og 43021

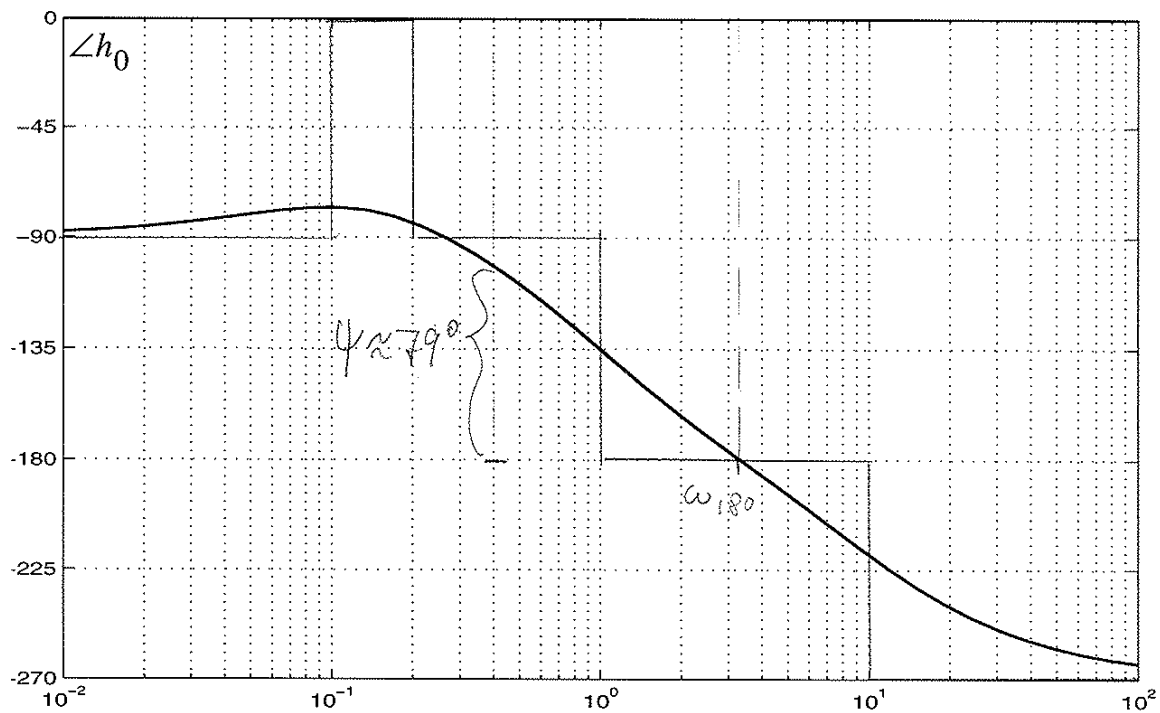
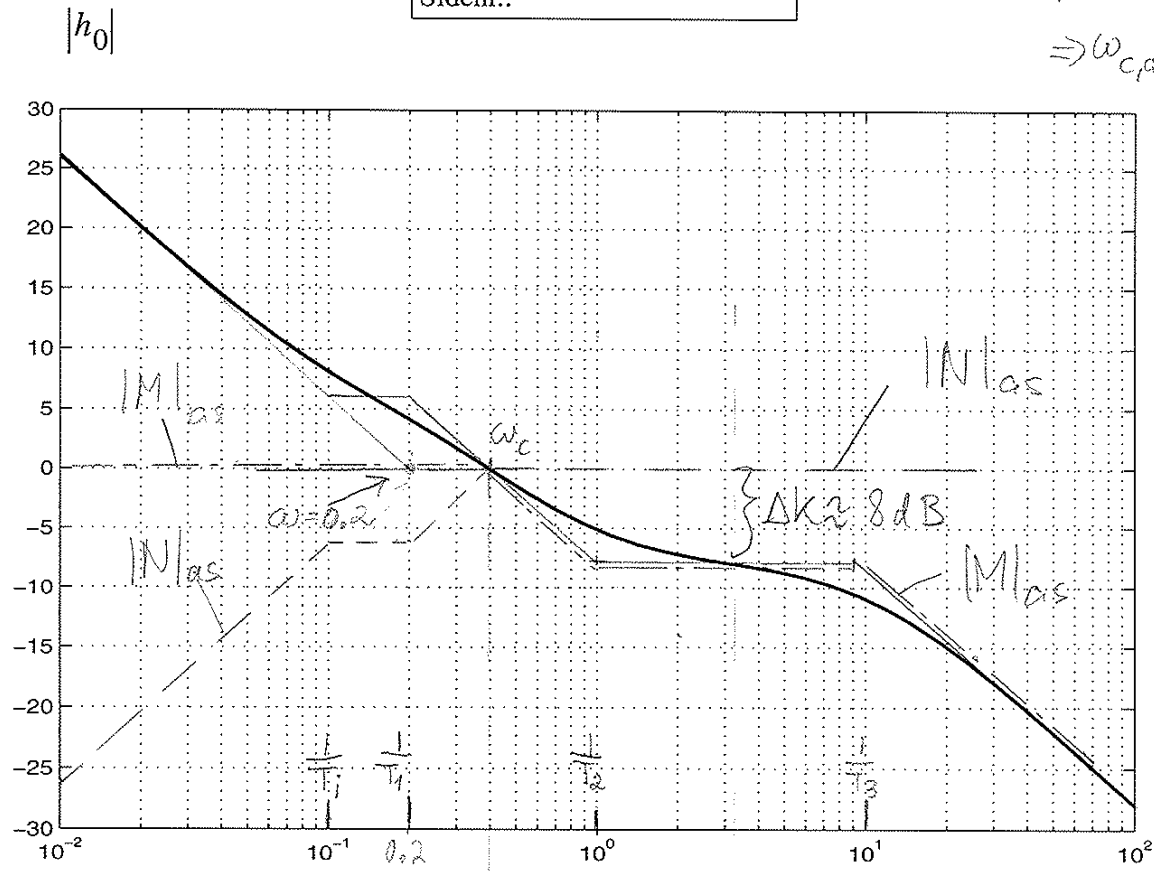
Dato: 16. mai 2001

Student nr.:

Sidenr.:

$$|h_0(j\omega)|_{GS, \omega \ll 1} = \frac{2}{10\omega}$$

$$\Rightarrow \omega_{GS, \omega \ll 1} = 0.2$$



figur 4.1